

## **ЛАБОРАТОРНОЕ МОДЕЛИРОВАНИЕ СЕПАРАЦИИ СЫПУЧИХ МАТЕРИАЛОВ В ПСЕВДООЖИЖЕННОМ СЛОЕ**

Одним из эффективных способов сепарации сыпучих зернистых материалов является их гравитационное обогащение [1].

Гравитационное обогащение осуществляется в водной и воздушной средах. В водной среде разделение происходит достаточно четко. Однако сухое гравитационное обогащение в воздушной среде имеет преимущество в том, что не требует обезвоживания продуктов обогащения. Это особенно важно для районов с суровым климатом, где смерзание концентратов, затрудняет их транспортировку. Одним из эффективных способов, является сепарация в псевдоожигенном слое, создаваемым прохождением воздушного потока сквозь пористое днище, на котором размещается мелкий зернистый утяжелитель [2]. В таком слое тонут более плотные частицы и всплывают менее плотные аналогично водным суспензиям, но при этом продукты разделения остаются сухими.

Данное исследование посвящено разработке способа сепарации, в котором в качестве системы разделения компонентов используется блокированный псевдоожигенный слой (БПС) [3]. Отличие БПС от обычного псевдоожигенного слоя в том, что его зернистая твердая фаза соединена гибкими нитями, закрепленными одними концами на воздухораспределительной решетке. Это дает возможность поддерживать постоянным гранулометрический состав твердой фазы БПС в процессе сепарации, а также путем подбора геометрических и аэродинамических параметров БПС получать его «эффективную плотность» промежуточную между плотностями разделяемых компонентов смеси, что является основой для эффективного непрерывного технологического процесса разделения материалов, различающихся по плотности.

Одним из основных требований для обеспечения высокой эффективности технологического процесса разделения компонентов является равномерное распределение воздушного потока по площади рабочей поверхности БПС. Научное обоснование такого распределения и определило основную задачу исследований.

Целью лабораторных исследований является определение рациональной схемы подачи воздушного потока и распределения его по рабочей поверхности БПС.

Объект исследования — экспериментальная установка, включающая вентилятор, воздуховод и сепарирующий барабан с БПС на его внешней цилиндрической поверхности (рис. 1).

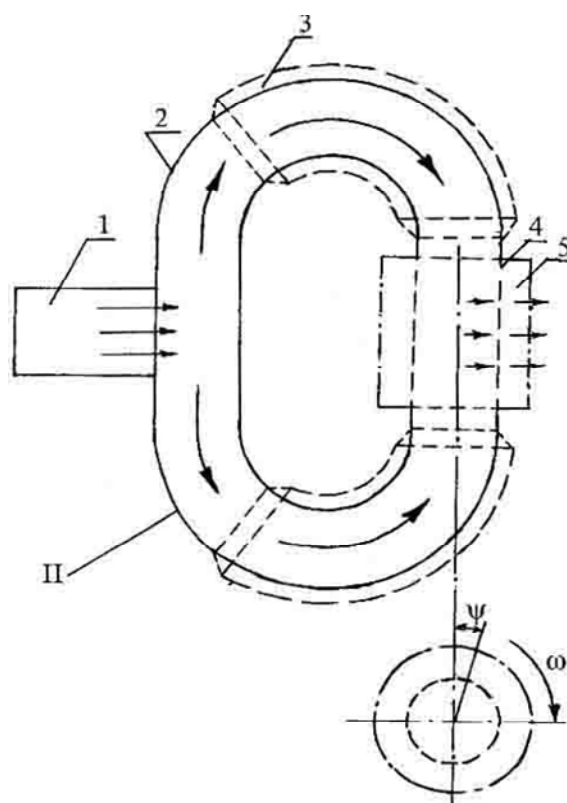
Предмет исследования — закономерности движения воздушного потока по рабочей поверхности БПС в барабане.

Задачи исследования:

- установить влияние конструкции воздухораспределительной решетки на равномерность распределения воздуха по рабочей площади сепарирующего барабана;
- определить эффективность жалюзийных и плоских решеток, применяемых для выравнивания распределения воздуха по рабочей поверхности БПС.

Предварительными исследованиями установлено, что воздушный поток распределяется более равномерно при двусторонней подаче в барабан, чем при односторонней [3]. Воздушный поток на выходе из вентилятора разделялся с помощью специального трубопровода и подавался через два входных окна в полость барабана (рис. 1).

Чтобы подать в сепарирующий барабан равномерный воздушный поток необходимо колено воздуховода удалять от входного окна барабана на значительное расстояние [4], что приведет к увеличению габаритных размеров отделителя.



I — подача воздуха в барабан воздуховодом постоянного сечения;  
 II — подача воздуха в барабан воздуховодом переменного сечения с диффузором-конфузором  
 1 — вентилятор; 2 — воздуховод постоянного сечения; 3 — диффузор-конфузор;  
 4 — решетчатый барабан; 5 — БПС

Рисунок 1 — Схема сепаратора сыпучих материалов с двусторонней подачей воздуха в сепарирующий барабан

Предлагается обеспечить минимальную интенсивность вторичных течений и таким образом получить поток со стабильным полем давлений путем уменьшения скорости воздуха перед поворотом воздуховода (введением местной диффузорности), а за поворотом — увеличением скорости (введением местной конфузорности) [4]. В воздуховоде постоянного сечения при введении в области поворота системы диффузор-конфузор диаметр воздуховода можно увеличить в 1,25–1,5 раза [4].

С целью оценки равномерности распределения воздушного потока по рабочей поверхности барабана (рис. 2) использовалась штанга 5, на которой крепились датчики полных давлений 4. Выходные концы датчиков 4 соединялись с многошкальным микроманометром. Штанга 5 вместе с датчиками 4 имела возможность перемещаться по глубине слоя в радиальном направлении. Поскольку штанга жестко связана с боковинами барабана, то при повороте барабана вокруг оси изменялся угол установки датчиков со штангой. Таким образом, перемещая датчики в радиальном направлении — определяется распределение давлений по образующей барабана, а поворачивая барабан вокруг оси — по направляющей, т. е. по окружности (рис. 2).

Совершенствование воздухораспределительной системы сепарирующего устройства проводилось по следующим направлениям. На барабане опытного образца сепаратора исследовалось влияние конструкции воздухораспределительной решетки на равномерность распределения воздуха по рабочей площади барабана. Экспериментальной проверке были подвергнуты варианты воздухораспределительных решеток со следующими параметрами. Поверхность каждой решетки состояла из 4 поясов шириной по 100 мм. На каждом поясе сверлились отверстия различных диаметров, значения которых представлены в таблице 1.

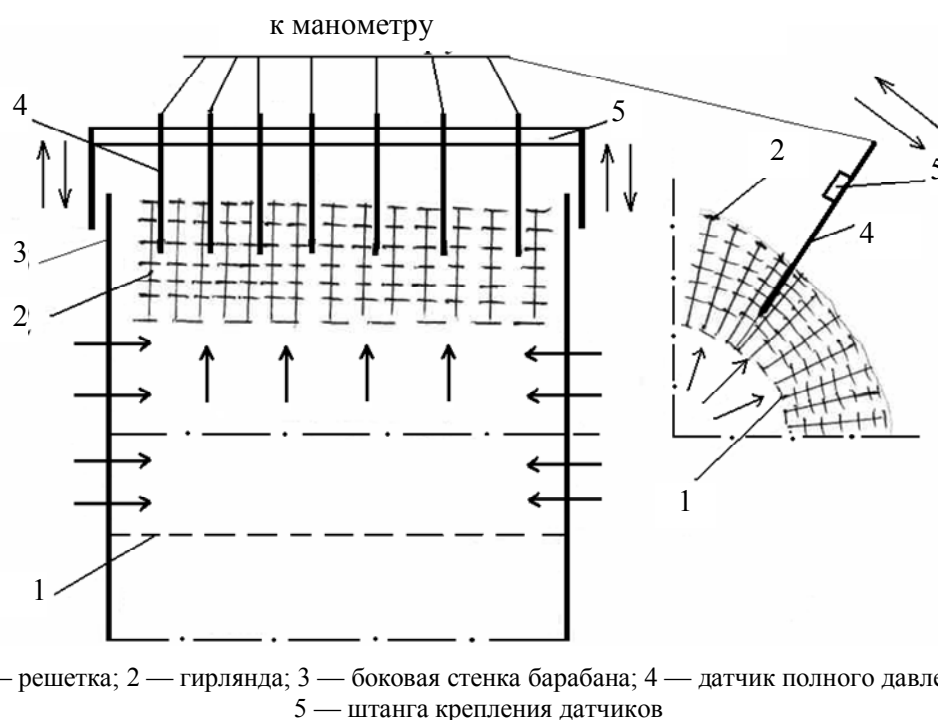


Рисунок 2 — Схема замера полных давлений в заблокированном псевдооживленном слое, размещенном на поверхности барабана

Таблица 1 — Значения диаметров отверстий поясов и их соответствующие живые сечения

№ схемы	Размеры отверстий поясов решетки, мм	Живое сечение по поясам решетки, %
1	8×8×8×8	21×21×21×21
2	10×9×8×9×10	28×23×21×23×28
3	12×10×8×10×12	41×28×21×28×41
4	14×11×8×11×14	55×34×21×34×55

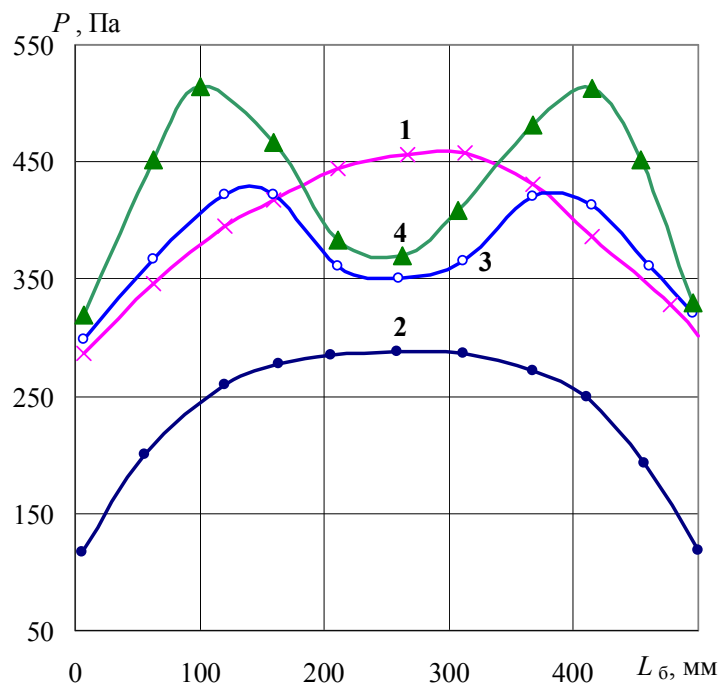
Воздухораспределительные решетки устанавливались поочередно в нагнетательную камеру сепарирующего барабана. Для каждого варианта решетки получены распределения полных давлений  $P$  воздушного потока в слое по ширине барабана, представленные на рисунке 3.

Экспериментальная проверка показала, что с ростом живого сечения решетки от середины барабана к торцам происходит выравнивание давления воздушного потока по ширине барабана, однако дальнейшее увеличение живого сечения в том же направлении приводит к тому, что давление в средней части барабана становится ниже, чем по краям (рис. 3). Изменение живого сечения воздухораспределительной решетки является эффективным способом выравнивания давления, однако в пристенной части барабана остается «теновой» участок шириной около 50 мм, на котором давление все же понижено. Дальнейший поиск рационального варианта конструкции воздуховода осуществлялся на лабораторной установке, выполненной по схеме, представленной на рисунке 4.

Между выходным окном вентилятора и стенкой ванны с заблокированным псевдооживленным слоем смонтирован дополнительный воздуховод, основные параметры которого представлены на схеме (рис. 4).

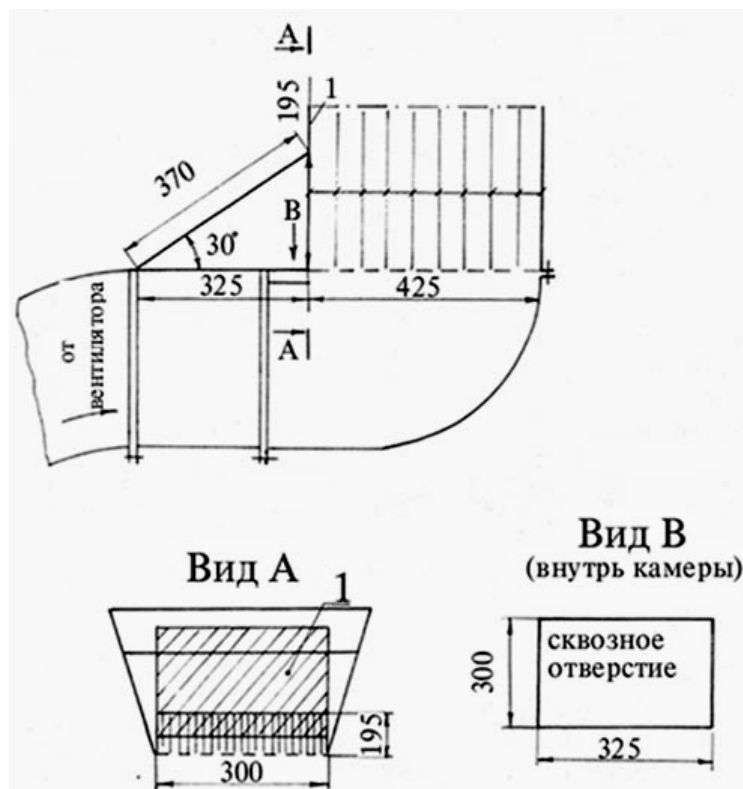
На пути движения воздушного потока с целью регулировки расхода воздуха устанавливались решетки типа «жалюзи», плоские решетки с различными живыми сечениями, а также регулируемая заслонка.

Установка жалюзийных и плоских решеток приводила к образованию между стенкой и гирляндами слоя канала, куда устремлялся воздух, что приводило к потерям воздушного потока.



Значения живого сечения решетки, в %: 1 — 21×21×21×21×21; 2 — 28×23×21×23×28;  
3 — 41×28×21×28×41; 4 — 55×34×21×34×55

Рисунок 3 — Распределение полного давления воздушного потока по ширине сепарирующего барабана в зависимости от изменения живого сечения воздухораспределительной решетки



1 — заслонка

Рисунок 4 — Схема установки для изучения распределения воздушного потока по площади БПС

Наиболее приемлемым оказался способ регулировки расхода воздушного потока с помощью заслонки.

Так при заслонке, открытой примерно на 50 мм, происходило практически полное выравнивание давления воздушного потока на пристенном участке. Таким образом, в качестве рациональных предварительных параметров воздухораспределительной системы можно рекомендовать решетку по схеме 3 с переменным живым сечением (в процентах)  $41 \times 28 \times 21 \times 28 \times 41$ , а также кольцевые просветы высотой 50 мм у обеих боковых стенок барабана.

Следует отметить необходимость дополнительного выравнивания давлений и как следствие — эффективных плотностей по ширине сепарирующего барабана.

Этого можно достичь путем плавного изменения живого сечения воздухораспределительной решетки т. к. до этого нами исследовались решетки со ступенчатым изменением живого сечения. Также целесообразно определить оптимальные координаты размещения рабочего участка БПС на цилиндрической поверхности барабана относительно места установки вентилятора.

Выводы:

1. В качестве воздухоподводящей системы целесообразно использовать двустороннюю подачу воздушного потока с диффузором-конфузором в области поворота воздуховода перед его входом в полость сепарирующего барабана с перепадом сечения воздуховода в 1,25–1,5 раза.

2. Для воздухораспределительной системы рекомендуется использовать воздухораспределительную решетку с переменным живым сечением, увеличивающимся от середины барабана к его боковым стенкам по схеме, в %:  $41 \times 28 \times 21 \times 28 \times 41$ .

3. С целью выравнивания давления воздушного потока на пристенном участке сепарирующего барабана наиболее приемлемым является способ регулировки расхода воздушного потока с помощью заслонки. При открытии заслонки на 50 мм наблюдается практически полное выравнивание давления воздушного потока на пристенном участке.

В дальнейших исследованиях планируется достичь повышения равномерности распределения воздушного потока путем плавного изменения живого сечения воздухораспределительной решетки, а также путем определения оптимальных координат размещения рабочего участка БПС относительно вентилятора.

### Список литературы

1. Верхотуров, М. В. Гравитационные методы обогащения: учеб. для вузов / М. В. Верхотуров. — М. : МАКС Пресс, 2006. — 352 с.
2. Буряков, В. И. Обогащение крупных классов углей в аэросуспензии : дис. ... канд. техн. наук : 05.15.08 / В. И. Буряков. — Караганда, 1968. — 230 с.
3. Зубков, В. Е. Сепарация сыпучих материалов / В. Е. Зубков. — Lambert Academic Publishing, 2011. — 364 с.
4. Дейч, М. Е. Техническая газодинамика / М. Е. Дейч. — М. — Л. : Госэнергоиздат, 1961. — 671 с.